

移流分散係数に関する一考察

京都大学工学部 正員 岩佐 義郎
京都大学工学部 正員○綾 史郎

1.はじめに：一方向的なせん断流に瞬間的にトレーサーを投入すると、トレーサークラウドは下流に流下するとともに、急速に流れ方向に拡がる。この現象は、移流分散と呼ばれ、2次中心モーメントの時間的变化率の1/2が(移流)分散係数である。先に、著者らは、この現象をLagrange的に解析し、開水路流れにおける分散(乱流拡散)係数の推定公式を提案した。移流分散現象は、Lagrange的手法のみならずEuler的手法によることで解析可能である。本報では、Euler的手法による移流分散係数の考察を行う。

2.従来の研究のReview：Euler的手法では、次の乱流拡散方程式

$$\frac{\partial \bar{C}}{\partial t} + \frac{1}{h_2 h_3} \left\{ \frac{\partial}{\partial x_1} (h_2 h_3 \bar{C} \bar{U}_1) + \frac{\partial}{\partial x_2} (h_3 \bar{C} \bar{U}_2) + \frac{\partial}{\partial x_3} (h_2 \bar{C} \bar{U}_3) \right\} = \frac{1}{h_2 h_3} \left\{ \frac{\partial}{\partial x_1} (h_2 h_3 e_1 \frac{\partial \bar{C}}{\partial x_1}) + \frac{\partial}{\partial x_2} \left(\frac{h_3}{h_2} e_2 \frac{\partial \bar{C}}{\partial x_2} \right) + \frac{\partial}{\partial x_3} \left(\frac{h_2}{h_3} e_3 \frac{\partial \bar{C}}{\partial x_3} \right) \right\} \quad (1)$$

を基礎式として、移流分散方程式、移流分散係数を求める。ここに、 \bar{C} ：局所平均濃度、 \bar{U}_i ：局所平均流速、 e_i ：乱流拡散係数、 x_i ：直交曲線座標($i=1$ 、主流方向)、 h_i ：測度係数である。移流分散係数については、いくつかの考え方があり可能であり、せん断乱流中の乱流拡散係数の断面平均値と1つ考え方や、乱流拡散係数に加えて、断面内における局所平均流速分布の非一様性による流下方向の質量輸送速度の非一様性の効果を考慮するものがある。本章では、後者の考え方による円管路内層流の分散係数を求めたTaylorの研究²⁾に基づき移流分散理論をまとめる。

(1)より、以下の仮定(a)～(e)を用いて、式(2)が導かれる。

(a) 流れは、定常で流下方向に一様である。(b) 流下方向の乱流拡散による輸送は、局所平均流速による輸送に加算的である。(c) 断面内の質量輸送につれて、2次流の輸送は、乱流拡散輸送に對して無視できる。(d) \bar{U} は、次の様に分解される。

$$\bar{U}_1 = U + u_1''(x_2, x_3), \quad U \equiv \int \bar{U}_1 h_2 h_3 dx_2 dx_3 / A = \text{const.}, \quad u_1'' \equiv \bar{U}_1 - U$$

(e) \bar{C} は、次の様な2種の濃度の和で示される。

$$\bar{C} = C_3 + C''(x_2, x_3), \quad \frac{\partial C_3}{\partial z} = \text{const.}, \quad \frac{\partial C''}{\partial z} = 0, \quad C_3 \gg C'', \quad z = x_1 - Ut, \quad z = x$$

$$u_1''(x_2, x_3) \frac{\partial C_3}{\partial z} = \frac{1}{h_2 h_3} \left\{ \frac{\partial}{\partial x_2} \left(\frac{h_3}{h_2} e_2 \frac{\partial C''}{\partial x_2} \right) + \frac{\partial}{\partial x_3} \left(\frac{h_2}{h_3} e_3 \frac{\partial C''}{\partial x_3} \right) \right\} \quad (2)$$

また、分散係数 D_L は、次式で定義されていく。

$$D_L \equiv E_L + D, \quad E_L \frac{\partial C_3}{\partial z} = \frac{1}{A} \int e_1 \frac{\partial \bar{C}}{\partial x_1} h_2 h_3 dx_2 dx_3, \quad (4), \quad D \frac{\partial C_3}{\partial z} = -\frac{1}{A} \int C'' u_1'' h_2 h_3 dx_2 dx_3, \quad (5)$$

仮定(a)～(c)は、移流分散方程式がより一般的の流れ場に対する一般化²⁾であるが、現象に対する本質的ではない。仮定(e)の C_3 , C'' の物理的意味は曖昧であるが、Fischer³⁾によれば、 C_3 は断面平均濃度 \bar{C} , C'' はそれからの偏差である。

Taylor の解析法では、 U_i^* の分布を既知とし、(2) より C'' を求め、(5) により D_i を求めるところにある。(2) の独立変数は x_2 , x_3 であり、解析解を求めるには困難であるが、濃度分布が 1 次元的 (x_2 のみの関数) の時常微分方程式となり、解を求めることが可能。

$$D_i = \frac{1}{A} \int_0^{x_{2a}} \int_{x_{3a}}^{x_{3b}} \left[\int_0^{x_2} \frac{dA}{dx_3} dx_3 \right]^2 dx_2, \quad Q(x_2) = \int_{x_{3a}}^{x_{3b}} h_3 dx_3, \quad A(x_2) = \int_0^{x_2} \int_{x_{3a}}^{x_{3b}} h_2 h_3 dx_3 dx_2 \quad (6)$$

ここで、 $x_2 = \text{const.}$ の曲線が等流速線で、 x_3 と x_2 に座標軸をとる。Taylor は円管端内乱流⁴⁾、Hayakawa et al.⁵⁾ は、半梢円断面内乱流⁵⁾の分散係数を求めた。また、Elder⁶⁾ は、同様な手法で 2 次元流にかけた分散係数を求めた。

一方、Fischer は河川流に対する、 x_2 座標を水路幅方向に（等濃度線は鉛直方向）にとることにより、(2), (5) より、分散係数を求めた。Fischer と Hayakawa et al の結果とは、半梢円断面内乱流⁵⁾の分散係数を全く異なが、これは、仮定する等濃度線の形が全く異なるからである。

3. 開水路流れの移流分散方程式と分散係数：

(1) に、1 次元解析法を適用すると、

$$\frac{\partial}{\partial t} \left(\int h_2 h_3 dx_2 dx_3 \right) + \frac{\partial}{\partial x_1} \left(\int U_i C h_2 h_3 dx_2 dx_3 \right) = \frac{\partial}{\partial x_1} \left(C \frac{\partial C}{\partial x_1} h_2 h_3 dx_2 dx_3 \right) \quad (7)$$

を得る⁷⁾。ここで、これが次の様に分解できるものとする。

$$\bar{U}_i = U + (\bar{U}^* - U) + U''_{y3} \quad (8) \quad \bar{C} = \bar{C} + (\bar{C}^* - \bar{C}) + C''_{y3} \quad (9)$$

ここで、 $B = \frac{1}{A} \int h_2 dA$, $\bar{B}^* = \frac{1}{A} \int_{-b}^b \bar{h}_2 dy$, $b''_{y3} = \bar{B} - \bar{B}^*$, $d = \gamma + h$ である。(8), (9) より (7) 左辺第 2 項は、

$$M = U \bar{C} + \int (\bar{U}^* - U)(\bar{C}^* - \bar{C}) dA + \int U''_{y3} C''_{y3} dA \quad (10)$$

である。(10) 右辺第 2, 3 項を勾配輸送型と示すと、
D_{1v} は、
D_{1v} = E₁ + D_{1v} + D_{1e} (11)

$$D_{1v} \frac{\partial \bar{C}}{\partial x_1} = -\frac{1}{A} \int U''_{y3} C''_{y3} dA \quad (12), \quad D_{1v} \frac{\partial \bar{C}}{\partial x_1} = -\frac{1}{A} \int (\bar{U}^* - U)(\bar{C}^* - \bar{C}) dA \quad (13)$$

である。(11) における E₁ は乱流拡散による、D_{1v} は水深方向、D_{1e} は水路幅方向の局所平均流速の非一様性に起因する輸送を示すものである。(13) 式より、

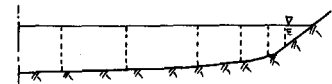
$$D_{1e} = -\frac{1}{A} \int_{-b}^{b_2} \frac{b_2}{\bar{C}^* d} \left[\int_{-b}^{b_1} (\bar{U}^* - U) dd_2 \right]^2 \quad (2: \text{水路幅方向座標}) \quad (14)$$

を得、これは Fischer の求めた分散係数に一致する。Fig. 2 は実測された分散係数と (14) を比較したものである。E₁, D_{1v} の評価は難しか、Elder の結果を参考にして、E₁/du_y = 0.04 ~ 1, D_{1v}/du_y = 6.3 (k = 0.4) ~ 15.0 (k = 0.3) の値とするとき、(11) による D_{1e} の推定がほぼ妥当であると理解される。

参考文献：1) Taylor, G. I. (1953) : Proc. Royal Soc. London, 2) Iwasa, Y. (1976) : Proc. Unsteady Flows in Open Channel, 3) Fischer, H. B. (1966) : Report KH-R-12, Caltech, 4) Taylor, G. I. (1954) : Proc. Royal Soc. London, 5) Hayakawa et al (1984) : Proc. JSCE, 6) Elder, J. W. (1959) ; J. F. M. 7) 寄稿 (1983) ; 京都大学防災研究所年報



(a) 等流速線



(b) 仮定された等濃度線

Fig. 1 等流速線と等濃度線

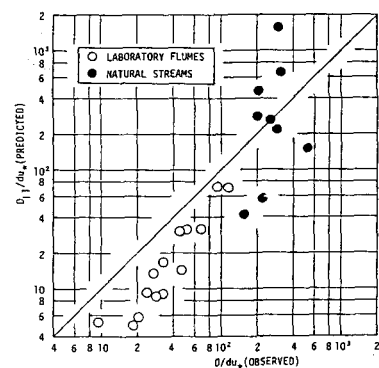


Fig. 2 分散係数